

# 口腔鳞癌新辅助化疗前后多药耐药相关蛋白的表达及临床疗效分析

邬利波 潘淑婷 邱嘉旋\*

(南昌大学第一附属医院口腔颌面外科 江西南昌 330006)

**[摘要]** 目的:观察口腔鳞癌患者新辅助化疗疗效与5年生存率的关系,并探讨P—gp、MRP1、GST— $\pi$ 与新辅助化疗疗效的关系。方法:1)收集南昌大学第一附属医院诊治的口腔鳞癌石蜡标本77例(有效组50例,无效组27例),随访5年生存时间,Envision法检测P—gp、MRP1、GST— $\pi$ 表达水平;2)收集本单位口腔鳞癌新鲜标本33例(有效组18例,无效组15例),qPCR、WesternBlot法检测P—gp、MRP1、GST— $\pi$ 表达水平。**结果:**1)Kaplan—Meier显示:有效组5年生存率高于无效组( $P<0.05$ )。2)Envision、qPCR、WesternBlot显示:无效组化疗后P—gp、MRP1表达上升量较有效组有显著差异( $P<0.05$ ),而GST— $\pi$ 表达上升量无显著差异( $P>0.05$ )。**结论:**口腔鳞癌新辅助化疗有效组5年生存率明显高于无效组;化疗疗效与P—gp、MRP1表达相关,表达上升量越高,疗效越差。

**[关键词]** 口腔鳞癌 新辅助化疗 多药耐药相关蛋白 5年生存率

**[中图分类号]** R739.8 **[文献标识码]** A **[文章编号]** 1671—7651(2017)12—1298—04

**[doi]** 10.13701/j.cnki.kqxyj.2017.12.015

**Expression Level and Clinical Efficacy of Multidrug Resistant Proteins before and after Neoadjuvant Chemotherapy in OSCC.** WU Li-bo, PAN Shu-ting, QIU Jia-xuan\*. Department of Oral & Maxillofacial Surgery, The First Affiliated Hospital of Nanchang University, Nanchang 330006, China.

**[Abstract]** **Objective:** To observe the relationship between therapeutic efficacy and 5—year survival rate of OSCC patients after neoadjuvant chemotherapy, and to explore the relationship between P—gp, MRP1, or GST— $\pi$  and therapeutic efficacy after neoadjuvant chemotherapy. **Methods:** Seventy—seven OSCC paraffin specimens (50 valids and 27 invalids) were collected from the First Affiliated Hospital of Nanchang University. The 5—year survival time was followed up. Envision assay was used to determine the expression level of P—gp, MRP1, and GST— $\pi$ . Thirty—three OSCC fresh specimens (18 valids and 15 invalids) were collected. qPCR and Western Blot assay were used to detect the expression level of P—gp, MRP1, and GST— $\pi$ . **Results:** The Kaplan—Meier assay showed that 5—year survival rate of valid group was better than that of invalid group ( $P<0.05$ ). The results of Envision, qPCR, and Western Blot showed that the increased expression levels of P—gp and MRP1 in valid group were significantly higher than those in invalid group ( $P<0.05$ ). **Conclusion:** The 5—year survival rate of valid group was obviously higher than that of invalid group after the neoadjuvant chemotherapy. The expression levels of P—gp and MRP1 were related to therapeutic efficacy. The higher expression levels of P—gp and MRP1 were followed by the inferior therapeutic efficacy.

**[Key words]** OSCC Neoadjuvant chemotherapy Multidrug Resistant related proteins 5—year survival rate

口腔鳞癌(Oral squamous cell carcinoma, OSCC)晚期病人常需辅助化疗<sup>[1]</sup>,新辅助化疗(Neoadjuvant Chemotherapy, NACT),即手术或放疗前给予化疗,具有缩小肿瘤体积、消除亚临床病灶等优点

**基金项目** 江西省科技厅自然科学基金重大项目(编号:20152ACB20019)

**作者简介** 邬利波(1984~),女,江西萍乡人,硕士,主治医师,口腔颌面外科。

\* 通讯作者 邱嘉旋,E-mail:qiujiexuan@163.com

用于临床,但能否提高患者远期生存率,报道不一<sup>[1,2]</sup>。化疗易产生多药耐药(Multiple drug resistance, MDR),导致超过90%的患者死亡<sup>[3]</sup>。P—糖蛋白(P—glcoprotein, P—gp)、多药耐药相关蛋白1(Multiple resistance protein1, MRP1)、谷胱甘肽S转移酶— $\pi$ (Glutathione—transferases— $\pi$ , GST— $\pi$ )在口腔鳞癌耐药组织中高表达,导致化疗抵抗<sup>[4]</sup>。而OSCC患者NACT疗效与5年生存率及耐药蛋白表达变化量的研究较少,本实验旨在探讨OSCC

患者 NACT 疗效与 5 年生存率的关系,及化疗疗效与多药耐药相关蛋白 P—gp、MRP1、GST— $\pi$  表达变化量的关系。

## 1 材料与方法

1.1 病例来源 按纳入标准收集本单位 2000~2011 年石蜡 77 例及 2013~2016 年新鲜标本 33 例(经本院伦理委员会批准、患者知情同意),见表 1。

表 1 临床资料

Table 1 The chart of related clinical files

临床特征	石蜡标本		新鲜标本	
	有效组	无效组	有效组	无效组
<b>年龄/岁</b>				
≤50	11	6	6	3
>50	39	21	12	12
<b>性别</b>				
女	13	11	8	6
男	37	16	10	9
<b>部位</b>				
舌	34	16	13	9
牙龈	4	3	3	2
颊	4	—	1	1
口底	4	2	1	1
上腭	2	2	—	1
上颌窦	2	4	—	1
<b>临床分期</b>				
III 期	34	15	10	8
IV 期	16	12	8	7
<b>病理分级</b>				
高分化	18	5	6	5
中分化	26	15	8	7
低分化	6	7	4	3
<b>淋巴结转移</b>				
无	20	8	9	7
有	30	19	9	8

1.2 纳入标准 1)未经治疗的初诊;2)顺铂+5—氟尿嘧啶(PF)化疗 1 疗程,1~2 周后手术(第 1 天顺铂 100 mg/m<sup>2</sup> 加入 2.5% 氯化钠液 500 mL 静脉滴注;第 1~5 天,每天 5—氟尿嘧啶 375 mg/m<sup>2</sup> 加入 5% 葡萄糖液 250 mL 静脉滴注);3)病理为口腔鳞癌;4)资料完整。

1.3 按 WHO 通用标准行近期疗效评价<sup>[5]</sup> 完全缓解(肿瘤消失),部分缓解(肿瘤缩小>50%),稳定(肿瘤缩小<50%),恶化(肿瘤增大至少 25% 或出现新病灶)。完全缓解和部分缓解为有效,稳定和恶化为无效。

1.4 实验试剂 P—gp、MRP1 一抗(abcam 公司),GST— $\pi$  一抗(Life 公司), $\beta$ -actin 一抗、山羊抗兔/鼠二抗(康为世纪公司)。MaxVisionTM 试剂(MXB 公司)。DNA 逆转录、扩增试剂盒(TRAN 公司)。

## 1.5 检测方法

1.5.1 Envision 检测 切片、脱蜡、抗原修复、孵一二抗、染色、封片。计数<sup>[4]</sup>,P—gp、MRP1 阳性细胞为细胞膜/质棕染,GST— $\pi$  为细胞质/核棕染,阳性细胞<5% 为(—),>5% 为(+)。

1.5.2 实时定量 PCR(qPCR)检测 液氮运输组织,Tirzol 法提取总 RNA、1% 琼脂糖凝胶电泳、反转录、染料法 PCR 扩增。

1.5.3 WesternBlot 检测 液氮运输组织、提蛋白、电泳、湿转、封闭、孵一二抗、曝光。

1.6 统计 SPSS18.0 分析,累计生存率用 Kaplan—Meier;组间比较采用两独立样本 t 检验; $P<0.05$  有统计学意义。

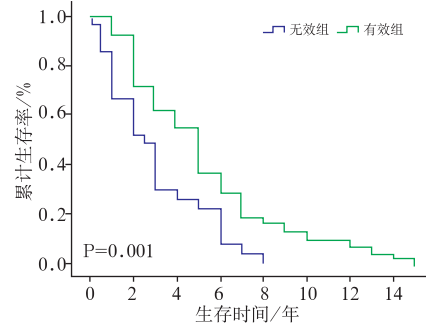


图 1 Kaplan—Meier 分析化疗有效、无效组生存时间

Fig. 1 Kaplan—Meier survival curve was used to analyze the survival time of valid and invalid group

## 2 结果

2.1 5 年生存率随访 生存时间按手术治疗至死亡或最后随诊时间计算(随访率 100%)Kaplan—Meier 生存曲线从纵轴生存率为 0.5 处画平行于横轴的直线,与生存率曲线相交,自交点画垂线与横轴相交,交点为中位生存时间。经统计,77 例石蜡标本,有效组中位生存时间为 5 年,无效组为 2.5 年( $P=0.001$ )。有效组 5 年生存率为 54.0%,优于无效组 25.9%( $P=0.018$ ),见图 1、表 2。

表 2 新辅助化疗有效组、无效组生存情况

Table 2 The survival of valid and invalid group after neoadjuvant chemotherapy

分组	样本量 /例	平均生存时间/年	中位生存时间/年	5 年生存率/%
有效组	50	5.23	5.00	27(54.0%)
无效组	27	2.97	2.50	7(25.9%)
卡方值		10.225		5.604
P 值		0.001		0.018

2.2 Envision 检测石蜡标本(有效组 50 例,无效组 27 例)P—gp、MRP1、GST— $\pi$  的表达 新辅助化疗后无效组 P—gp 阳性表达上升 22.2%,有效组表达上升 4.0%,两组比较有统计学意义( $P=0.035$ );无

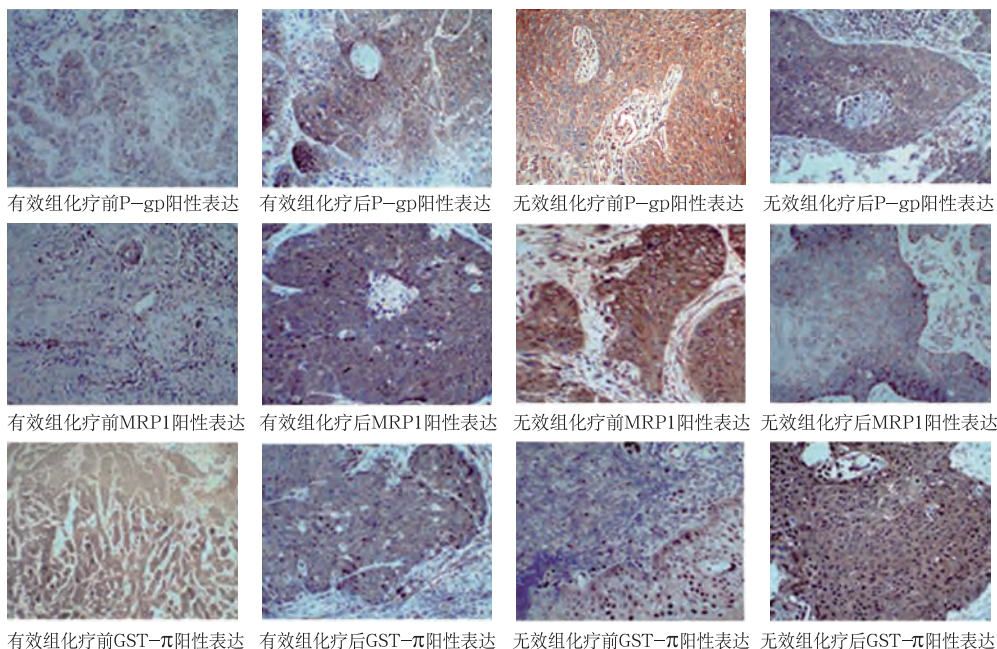


图 2 口腔鳞癌化疗前后 P—gp、MRP1、GST— $\pi$  阳性表达( $\times 200$  倍)

Fig. 2 The positive expression of P—gp, MRP1, and GST— $\pi$  before and after chemotherapy in OSCC ( $\times 200$ )

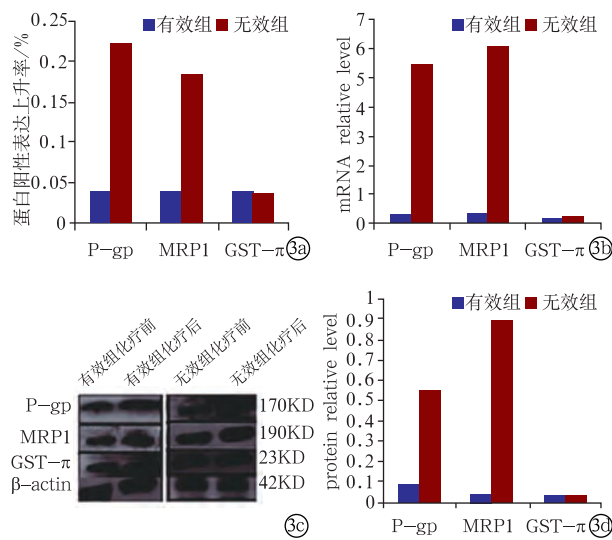


图 3 3a: 有效组、无效组化疗后 P—gp、MRP1、GST— $\pi$  阳性表达变化;3b: 有效组、无效组化疗后 P—gp、MRP1、GST— $\pi$  mRNA 表达变化;3c: 有效组、无效组化疗前后 P—gp、MRP1、GST— $\pi$  表达;3d: 有效组、无效组化疗后 P—gp、MRP1、GST— $\pi$  蛋白表达变化

Fig. 3 3a: The positive expression variation of P—gp, MRP1, and GST— $\pi$  after chemotherapy of valid and invalid group. 3b: The expression variation of P—gp, MRP1, and GST— $\pi$  mRNA after chemotherapy of valid and invalid group. 3c: The expression of P—gp, MRP1, and GST— $\pi$  protein before and after chemotherapy of valid and invalid group. 3d: The expression variation of P—gp, MRP1, and GST— $\pi$  protein after chemotherapy of valid and invalid group

效组 MRP1 阳性表达上升 18.5%，有效组表达上升 4.0%，两组比较有统计学意义( $P=0.049$ )。无效

组 GST— $\pi$  阳性表达上升 3.8%，有效组表达上升 4.0%，两组比较无统计学意义( $P=0.931$ )，见图 2、图 3a。

2.3 qPCR 检测 33 例新鲜标本(有效组 18 例, 无效组 15 例)新辅助化疗后 P—gp、MRP1、GST— $\pi$  mRNA 的表达 化疗后无效组 P—gp mRNA 表达上升 5.46 倍, 有效组表达上升 0.32 倍, 两组比较有统计学意义( $P<0.001$ )；无效组 MRP1 mRNA 表达上升 6.12 倍, 有效组表达上升 0.37 倍, 两组比较有统计学意义( $P<0.001$ )。无效组 GST— $\pi$  mRNA 表达上升 0.26 倍, 有效组表达上升 0.21 倍, 两组比较无统计学意义( $P=0.673$ )，见图 3b。

2.4 WesternBlot 检测 33 例新鲜标本(有效组 18 例, 无效组 15 例)新辅助化疗后 P—gp、MRP1、GST— $\pi$  的表达 化疗后无效组 P—gp 表达上升 0.55 倍, 有效组表达上升 0.09 倍, 两组比较有统计学意义( $P=0.003$ )；无效组 MRP1 表达上升 0.89 倍, 有效组表达上升 0.04 倍, 两组比较有统计学意义( $P=0.001$ )。无效组 GST— $\pi$  表达上升 0.03 倍, 有效组表达上升 0.03 倍, 两组比较无统计学意义( $P=0.731$ )，见图 3c、图 3d。

### 3 讨论

NACT 作用于口腔颌面部已 30 余年, 近期疗效得到认可。PF 方案能有效抑制舌癌增殖活性, 反应率达 66% ~ 78%, 为 NACT 首选<sup>[6]</sup>。然而, NACT 是否能提高患者远期生产率, 报道不一。早

在 20 世纪 90 年代, 我国学者邱蔚六就提出 NACT 适应 T3-T4 期患者, 且发现有效组可提高患者远期生存率<sup>[1]</sup>; 有学者提出 NACT 不能提高远期生存率, 认为可能与肿瘤复发、多药耐药相关<sup>[3,7]</sup>。学者认为, 造成以上争议的原因可能与患者选择、化疗方案、生活习惯、情绪等相关<sup>[2,8]</sup>。本实验收集 77 例行 PF 新辅助化疗的口腔鳞癌病例(有效组 50 例, 无效组 27 例), 发现有效组患者中位生存时间达 5 年, 明显优于无效组的 2.5 年; 且有效组患者 5 年生存率达 54.0%, 明显优于无效组 25.9%。为进一步探讨其可能机制, 本文对该 77 例石蜡切片行 Envision 检测, 同时收集 33 例新鲜口腔鳞癌标本行 qPCR、WesternBlot 检测多药耐药相关蛋白 P-gp、MRP1、GST- $\pi$  的表达水平。

MDR 是肿瘤细胞对一种抗肿瘤药物产生耐药同时对其它化学结构、作用机制完全不同的抗肿瘤药物也产生交叉耐药的现象, 机制包括膜转运蛋白过表达(P-gp、MRP1)、致药物解毒性增加蛋白过表达(GST- $\pi$ )<sup>[9]</sup>、抗癌药物活性形式减少等<sup>[10]</sup>。研究表明, P-gp、MRP1、GST- $\pi$  在 OSCC 患者 NACT 耐药组织中高表达, 导致 MDR<sup>[4]</sup>, 且超过 90% 的患者死于 MDR, 严重影响远期生存率<sup>[3]</sup>。同样, MDR 已成为 OSCC 化疗疗效欠佳的主要原因<sup>[11]</sup>。本实验用 Envision、qPCR、WesternBlot 行有效、无效组 NACT 前后 P-gp、MRP1、GST- $\pi$  的检测, 发现无效组 NACT 后 P-gp、MRP1 表达上升, 且上升量明显高于有效组, 即提示化疗疗效与 P-gp、MRP1 表达相关, 表达上升量越高, 疗效越差。本文亦发现无效组较有效组化疗后 GST- $\pi$  表达增加无显著差异, 该结果与冷卫东研究较一致<sup>[4]</sup>。该学者认为可能与样本量较少相关, 本实验认为可能为 GST- $\pi$  亚型 GST- $\pi$ -1 的减少/缺失所致, 因 GST- $\pi$ -1 为相关化疗药物活化酶, 其表达减少/缺失可使药物活性形式减少/消失, 产生耐药<sup>[10]</sup>, 但具体机制需深入研究。

如何提高远期生存率, 学者提出了行综合序列治疗的观点<sup>[12]</sup>; 其次, 多药耐药逆转剂如 P-gp 逆转剂 H6<sup>[13]</sup>等的研究; 再次, 本课题组长期研究的增敏剂白花丹素<sup>[14]</sup>等, 均已取得一定研究成果。但由于影响 OSCC 患者 NACT 远期疗效的因素众多, 故需深入探讨。

综上, OSCC 患者 NACT 产生 MDR, 化疗疗效与 P-gp、MRP1 表达有关, 表达上升量越高, 疗效越差; 有效组患者 5 年生存率显著优于无效组。故

提高其敏感性, 有利于进一步提高生存率; 如何更好的提高化疗敏感性, 有待进一步研究。

## 参考文献

- [1] 邱蔚六, 薛晓帆, 刘援如. 口腔颌面部鳞癌术前辅助化疗的评价[J]. 华西口腔医学杂志, 1991, 9(3): 167-173.
- [2] Sun W, Zhang X, Ding X, et al. Lactate dehydrogenase B is associated with the response to neoadjuvant chemotherapy in oral squamous cell carcinoma [J]. PLoS One, 2015, 10(5): e125976.
- [3] Perez-Sayans M, Somoza-Martin J M, Barros-Angueira F, et al. Multidrug resistance in oral squamous cell carcinoma: The role of vacuolar ATPases [J]. Cancer Lett, 2010, 295(2): 135-143.
- [4] 冷卫东, 王大章, 冯戈, 等. 肿瘤耐药蛋白在舌鳞癌中的表达及意义[J]. 华西口腔医学杂志, 2004, 22(1): 23-25.
- [5] Aprile G, Fontanella C, Bonotto M, et al. Timing and extent of response in colorectal cancer: critical review of current data and implication for future trials [J]. Oncotarget, 2015, 6(30): 28716-28730.
- [6] 邱嘉旋, 魏军水, 朱声荣, 等. Ki-67、EGFR、p53 及 RAR $\beta$  在口腔鳞状细胞癌化疗前后的变化及临床意义评价[J]. 口腔医学研究, 2011, 27(2): 127-131.
- [7] Sano D, Matsuda H, Ishiguro Y, et al. Antitumor effects of IDN5109 on head and neck squamous cell carcinoma [J]. Oncol Rep, 2006, 15(2): 329-334.
- [8] 杨锋. 术前诱导化疗、术后辅助化疗对晚期舌癌患者生存情况影响的对比研究[D]. 广西医科大学, 2010.
- [9] Pan S T, Li Z L, He Z X, et al. Molecular mechanisms for tumour resistance to chemotherapy [J]. Clin Exp Pharmacol Physiol, 2016, 43(8): 723-737.
- [10] Rosario L A, O'Brien M L, Henderson C J, et al. Cellular response to a glutathione S-transferase P1-1 activated prodrug [J]. Mol Pharmacol, 2000, 58(1): 167-174.
- [11] Peng B, Yi S, Gu Y, et al. Purification and biochemical characterization of a novel protein-tongue cancer chemotherapy resistance-associated protein1 (TCRP1) [J]. Protein Expr Purif, 2012, 82(2): 360-367.
- [12] 黄海燕, 杨蕾, 李秋梨, 等. 诱导化疗在局部中晚期口腔鳞癌序贯治疗中功能保留作用的研究[J]. 中华临床医师杂志, 2012, 15(6): 4305-4309.
- [13] Zhu H, Liu Z, Tang L, et al. Reversal of P-gp and MRP1-mediated multidrug resistance by H6, aglycosideaglycon form Gynostemma pentaphyllum, in vincristine-resistant human oral cancer (KB/VCR) cells [J]. Eur J Pharmacol, 2012, 696(1-3): 43-53.
- [14] Pan S T, Qin Y, Zhou Z W, et al. Plumbagin induces G2/M arrest, apoptosis, and autophagy via p38 MAPK- and PI3K/Akt/mTOR-mediated pathways in human tongue squamous cell carcinoma cells [J]. Drug Des Devel Ther, 2015, 9: 1601-1626.

[收稿日期: 2017-01-15]

(本文编辑 李四群)